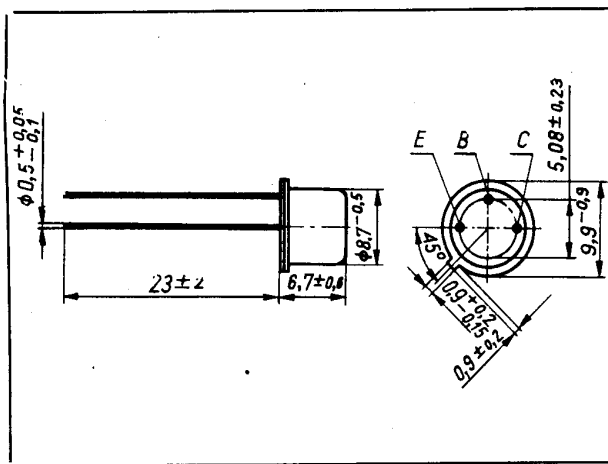


Tranzystory germanowe stopowe małej mocy małej częstotliwości. Są przeznaczone do stosowania w układach przełączających średniej szybkości.



Dane techniczne

Wartości dopuszczalne parametrów eksploatacyjnych

Typ		ASY34	ASY35	ASY36	ASY37
Napięcie kolektor-baza	$-U_{CB0}$	15	30	30	30 V
Napięcie kolektor-emiter	$-U_{CES}$	15	20	25	20 V
Napięcie kolektor-emiter	$-U_{CE0}$	10	20	20	20 V
Napięcie emiter-baza	$-U_{EB0}$	10	10	10	10 V
Prąd kolektora	$-I_C$	200	200	200	200 mA
Prąd szczytowy kolektora	$-I_{CM}$	200	200	200	200 mA
Prąd bazy	$-I_B$	30	30	30	30 mA
Moc strat kolektora przy $t_{amb} = 298$ K (25°C)	P_C	150	150	150	150 mW
Temperatura złącza	t_j	348 K (75°C)			
Zakres temperatury składowania	t_{stg}	218...363 K (-55...+90°C)			

Parametry termiczne

Rezystancja termiczna		ASY34	ASY35	ASY36	ASY37
złącze-otoczenie	$R_{th(j-a)}$	≤330	≤330	≤330	≤330 K/W
złącze-obudowa	$R_{th(j-c)}$	≤200	≤200	≤200	≤200 K/W

SWW 1156-211

TRANZYSTOR ASY34

Parametry statyczne

		min.	typ.	maks.	
przy $t_{amb} = 298$ K (25°C)					
Prąd zerowy kolektor-baza					
przy $-U_{CB} = 6$ V	$-I_{CB0}$	—	2	5	μA
przy $-U_{CB} = 6$ V, $t_{amb} = 343$ K (70°C)	$-I_{CB0}$	—	60	100	μA
Prąd zerowy emiter-baza					
przy $-U_{EB} = 6$ V	$-I_{EB0}$	—	2	6	μA
Napięcie przebicia kolektor-baza					
przy $-I_E = 0$, $-I_C = 50$ μA	$U_{(BR)CB0}$	15	40	—	V
Napięcie przebicia kolektor-emiter					
przy $R_{BE} = 0$, $-I_C = 50$ μA	$U_{(BR)CES}$	15	40	—	V
przy $-I_B = 0$, $-I_C = 10$ mA	$U_{(BR)CE0}$	10	20	—	V
Napięcie przebicia emiter-baza					
przy $-I_C = 0$, $-I_E = 50$ μA	$U_{(BR)EB0}$	10	30	—	V
Współczynnik wzmocnienia prądowego*					
przy $-I_C = 10$ mA, $-U_{CE} = 0,2$ V	h_{21E}	kl. II 20	—	35	—
		kl. IIIa 30	—	70	—
		kl. III 60	—	90	—
		kl. IV 70	—	130	—
		kl. V 110	—	170	—
		kl. VI 150	—	220	—
przy $-I_C = 100$ mA, $-U_{CE} = 0,2$ V	h_{21E}	20	—	—	—
Napięcie nasycenia kolektor-emiter					
przy $-I_C = 50$ mA, $-I_B = 3$ mA	U_{CEsat}	—	0,15	0,25	V

Parametry dynamiczne

		min.	typ.	maks.	
przy $t_{amb} = 298$ K (25°C)					
Częstotliwość graniczna					
przy $-I_C = 1$ mA, $-U_{CE} = 5$ V, $f = 0,5$ MHz	f_T	2	4	—	MHz

* Podziału na klasy dokonuje się na życzenie odbiorcy określone w zamówieniu.

Pojemność wyjściowa przy $-I_C = 1 \text{ mA}$, $-U_{CB} = 5 \text{ V}$, $f = 1 \text{ MHz}$	C_{22b}	—	22	35	pF
Czas włączania przy $-I_C = 10 \text{ mA}$, $-I_{B1} = I_{B2} = 1 \text{ mA}$	t_{ON}	—	—	1,55	μs
Czas wyłączenia przy $-I_C = 10 \text{ mA}$, $-I_{B1} = I_{B2} = 1 \text{ mA}$	t_{OFF}	—	—	2,7	μs

TRANZYSTOR ASY35

Parametry statyczne

przy $t_{amb} = 298 \text{ K}$ (25°C)		min.	typ.	maks.	
Prąd zerowy kolektor-baza przy $-U_{CB} = 15 \text{ V}$ $-I_{CB0}$		—	2,5	6	μA
przy $-U_{CB} = 15 \text{ V}$, $t_{amb} = 343 \text{ K}$ (70°C) $-I_{CB0}$		—	60	100	μA
Prąd zerowy emiter-baza przy $-U_{EB} = 10 \text{ V}$ $-I_{EB0}$		—	2	6	μA
Napięcie przebicia kolektor-baza przy $-I_E = 0$, $-I_C = 100 \mu\text{A}$	$U_{(BR)CB0}$	30	50	—	V
Napięcie przebicia kolektor-emiter przy $R_{BE} = 0$, $-I_C = 100 \mu\text{A}$	$U_{(BR)CES}$	20	50	—	V
przy $-I_B = 0$, $-I_C = 10 \text{ mA}$	$U_{(BR)CE0}$	20	40	—	V
Napięcie przebicia emiter-baza przy $-I_C = 0$, $-I_E = 100 \mu\text{A}$	$U_{(BR)EB0}$	10	20	—	V
Współczynnik wzmocnienia prą- dowego* przy $-I_C = 10 \text{ mA}$, $-U_{CE} = 1 \text{ V}$	h_{21E}	kl. IIIa 30	—	70	—
		kl. III 60	—	90	—
		kl. IV 70	—	130	—
		kl. V 110	—	170	—
		kl. VI 150	—	220	—
		kl. VII 200	—	300	—
przy $-I_C = 200 \text{ mA}$, $-U_{CE} = 0,35 \text{ V}$	h_{21E}	20	—	—	—
Napięcie nasycenia kolektor-emiter przy $-I_C = 50 \text{ mA}$, $-I_B = 5 \text{ mA}$	U_{CEsat}	—	0,11	0,2	V

Parametry dynamiczne

przy $t_{amb} = 298 \text{ K}$ (25°C)		min.	typ.	maks.	
Częstotliwość gra- niczna przy $-I_C = 1 \text{ mA}$, $-U_{CE} = 5 \text{ V}$, $f = 2 \text{ MHz}$	f_T	3	6	—	MHz
Pojemność wyjścio- wa przy $-I_E = 1 \text{ mA}$, $-U_{CB} = 5 \text{ V}$, $f = 1 \text{ MHz}$	C_{22b}	—	15	20	pF

Rezystancja rozpro- szona bazy przy $I_E = 1 \text{ mA}$, $-U_{CB} = 5 \text{ V}$, $f = 1 \text{ MHz}$	$r_{bb'}$	—	100	300	Ω
Czas włączania przy $-I_C = 10 \text{ mA}$, $-I_{B1} = I_{B2} = 1 \text{ mA}$	t_{ON}	—	0,45	0,9	μs
Czas wyłączenia przy $-I_C = 10 \text{ mA}$, $-I_{B1} = I_{B2} = 1 \text{ mA}$	t_{OFF}	—	0,53	1,6	μs

TRANZYSTOR ASY36

Parametry statyczne

przy $t_{amb} = 298 \text{ K}$ (25°C)		min.	typ.	maks.	
Prąd zerowy kolektor-baza przy $-U_{CB} = 20 \text{ V}$ $-I_{CB0}$		—	3	6	μA
przy $-U_{CB} = 20 \text{ V}$, $t_{amb} = 343 \text{ K}$ (70°C) $-I_{CB0}$		—	60	100	μA
Prąd zerowy emiter-baza przy $-U_{EB} = 10 \text{ V}$ $-I_{EB0}$		—	2	6	μA
Napięcie przebicia kolektor-baza przy $-I_E = 0$, $-I_C = 100 \mu\text{A}$	$U_{(BR)CB0}$	30	50	—	V
Napięcie przebicia kolektor-emiter przy $R_{BE} = 0$, $-I_C = 100 \mu\text{A}$	$U_{(BR)CES}$	25	50	—	V
przy $-I_B = 0$, $-I_C = 10 \text{ mA}$	$U_{(BR)CE0}$	20	40	—	V
Napięcie przebicia emiter-baza przy $-I_C = 0$, $-I_E = 100 \mu\text{A}$	$U_{(BR)EB0}$	10	20	—	V
Współczynnik wzmocnienia prą- dowego* przy $-I_C = 10 \text{ mA}$, $-U_{CE} = 1 \text{ V}$	h_{21E}	kl. IIIa 40	—	70	—
		kl. III 60	—	90	—
		kl. IV 70	—	130	—
		kl. V 110	—	170	—
		kl. VI 150	—	220	—
		kl. VII 200	—	300	—
przy $-I_C = 200 \text{ mA}$, $-U_{CE} = 0,35 \text{ V}$	h_{21E}	20	60	—	—
Napięcie nasycenia kolektor-emiter przy $-I_C = 50 \text{ mA}$, $-I_B = 3,3 \text{ mA}$	U_{CEsat}	—	0,11	0,2	V

Parametry dynamiczne

przy $t_{amb} = 298 \text{ K}$ (25°C)		min.	typ.	maks.	
Częstotliwość gra- niczna przy $-I_C = 1 \text{ mA}$, $-U_{CE} = 5 \text{ V}$, $f = 2 \text{ MHz}$	f_T	5	6,5	—	MHz

* Podziału na klasy dokonuje się na życzenie odbiorcy określone w zamówieniu.

Pojemność wyjściowa przy $I_E = 1 \text{ mA}$, $-U_{CB} = 5 \text{ V}$, $f = 1 \text{ MHz}$	C_{22b}	--	18	20	MHz
Rezystancja rozproszona bazy przy $I_E = 1 \text{ mA}$, $-U_{CB} = 5 \text{ V}$, $f = 1 \text{ MHz}$	$r_{bb'}$	--	100	300	Ω
Czas włączania przy $-I_C = 10 \text{ mA}$, $-I_{B1} = I_{B2} = 1 \text{ mA}$	t_{ON}	--	0,45	0,9	μs
Czas wyłączenia przy $-I_C = 10 \text{ mA}$, $-I_{B1} = I_{B2} = 1 \text{ mA}$	t_{OFF}	--	0,7	1,6	μs

Pojemność wyjściowa przy $-I_E = 1 \text{ mA}$, $-U_{CB} = 5 \text{ V}$, $f = 1 \text{ MHz}$	C_{22b}	--	15	20	pF
Rezystancja rozproszona bazy przy $-I_E = 1 \text{ mA}$, $-U_{CB} = 5 \text{ V}$, $f = 1 \text{ MHz}$	$r_{bb'}$	--	100	300	Ω
Czas włączania przy $-I_C = 10 \text{ mA}$, $-I_{B1} = I_{B2} = 1 \text{ mA}$	t_{ON}	--	0,32	0,9	μs
Czas wyłączenia przy $-I_C = 10 \text{ mA}$, $-I_{B1} = I_{B2} = 1 \text{ mA}$	t_{OFF}	--	0,47	1,05	μs

TRANZYSTOR ASY37

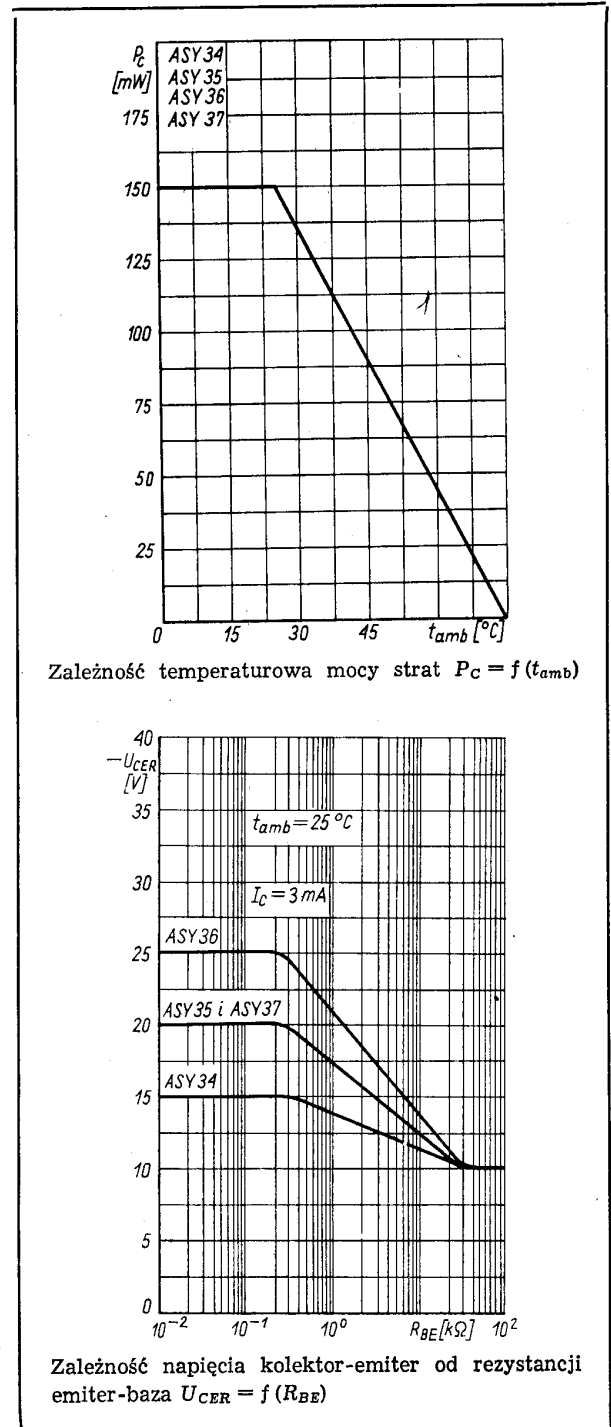
Parametry statyczne

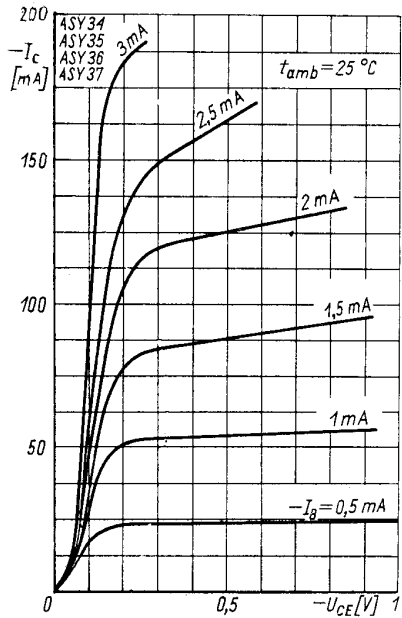
przy $t_{amb} = 298 \text{ K}$ (25°C)		<u>min.</u>	<u>typ.</u>	<u>maks.</u>	
Prąd zerowy kolektor-baza przy $-U_{CB} = 15 \text{ V}$	$-I_{CB0}$	--	2,5	6	μA
przy $-U_{CB} = 15 \text{ V}$, $t_{amb} = 343 \text{ K}$ (70°C)	$-I_{CB0}$	--	60	100	μA
Prąd zerowy emiter-baza przy $-U_{EB} = 10 \text{ V}$	$-I_{EB0}$	--	2	6	μA
Napięcie przebicia kolektor-baza przy $+I_E = 0$, $-I_C = 100 \mu\text{A}$	$U_{(BR)CB0}$	30	50	--	V
Napięcie przebicia kolektor-emiter przy $R_{BE} = 0$, $-I_{CES} = 100 \mu\text{A}$	$U_{(BR)CES}$	20	40	--	V
przy $-I_B = 0$, $-I_C = 10 \text{ mA}$	$U_{(BR)CE0}$	20	40	--	V
Napięcie przebicia emiter-baza przy $-I_C = 0$, $-I_E = 100 \mu\text{A}$	$U_{(BR)EB0}$	10	15	--	V
Współczynnik wzmocnienia prądowego* przy $-I_C = 10 \text{ mA}$, $-U_{CE} = 1 \text{ V}$	h_{21E}	kl. III	60	--	90
		kl. IV	70	--	130
		kl. V	110	--	170
		kl. VI	150	--	220
		kl. VII	200	--	250
przy $-I_C = 200 \text{ mA}$, $-U_{CE} = 0,35 \text{ V}$	h_{21E}	30	--	--	--
Napięcie nasycenia kolektor-emiter przy $-I_C = 50 \text{ mA}$, $-I_B = 2,5 \text{ mA}$	U_{CESat}	--	0,15	0,2	V

Parametry dynamiczne

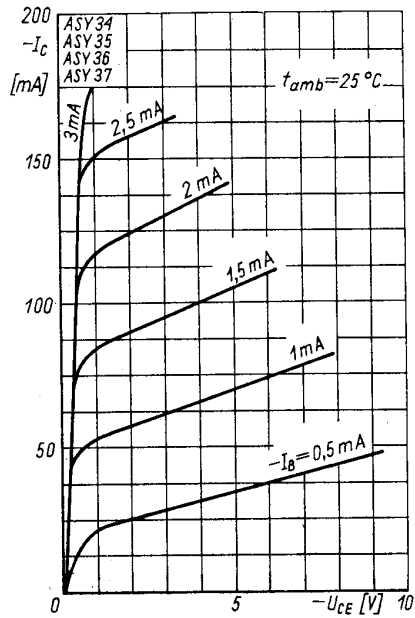
przy $t_{amb} = 298 \text{ K}$ (25°C)		<u>min.</u>	<u>typ.</u>	<u>maks.</u>	
Częstotliwość graniczna przy $-I_C = 1 \text{ mA}$, $-U_{CE} = 5 \text{ V}$, $f = 5 \text{ MHz}$	f_T	10	15	--	MHz

* Podziału na klasy dokonuje się na życzenie odbiorcy określone w zamówieniu.

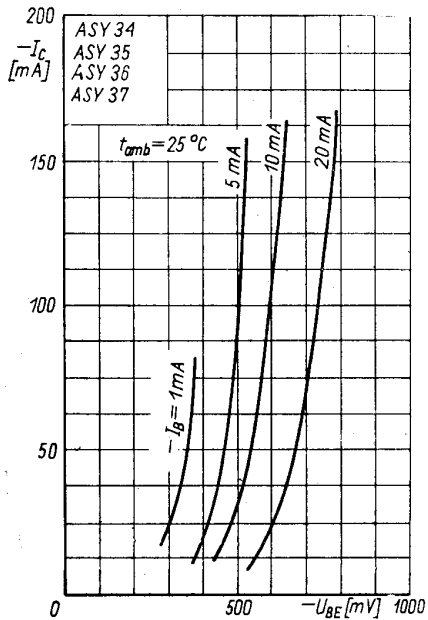




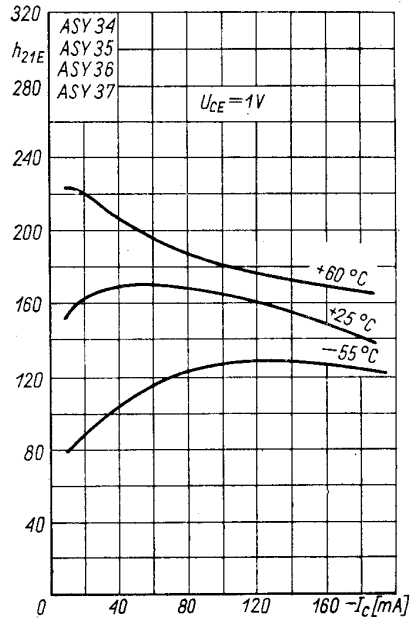
Charakterystyka wyjściowa $I_C = f(U_{CE})$; I_B — parametr



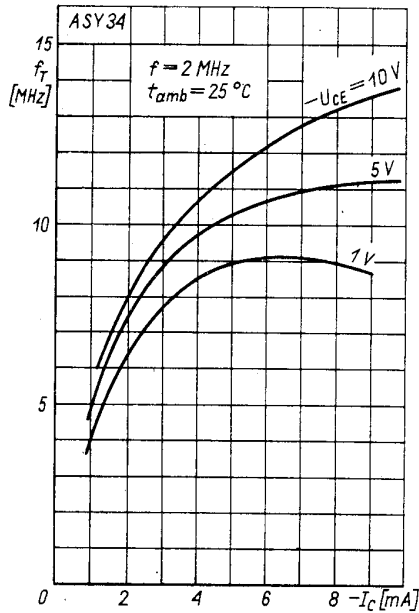
Charakterystyka wyjściowa $I_C = f(U_{CE})$; I_B — parametr



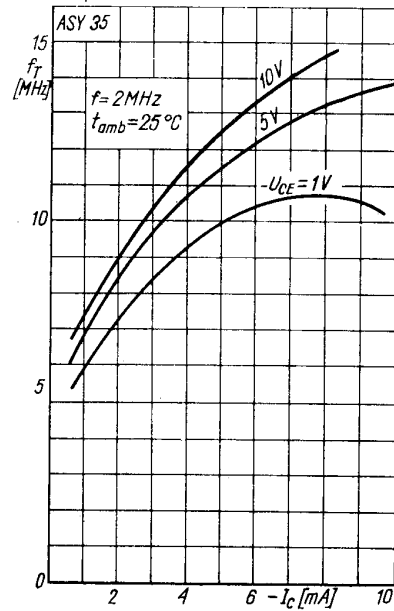
Charakterystyka przejściowa $I_C = f(U_{BE})$; I_B — parametr



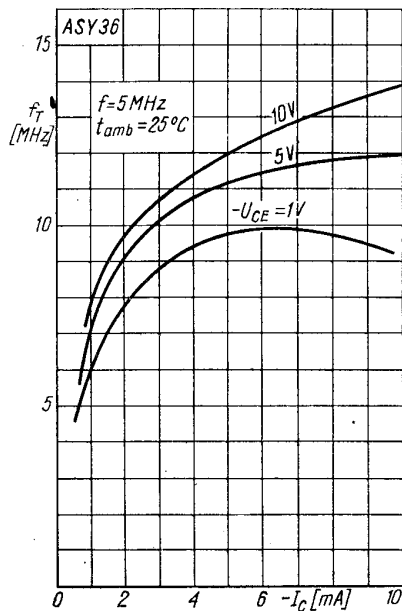
Zależność statycznego współczynnika wzmocnienia prądowego od prądu kolektora $h_{21E} = f(I_C)$



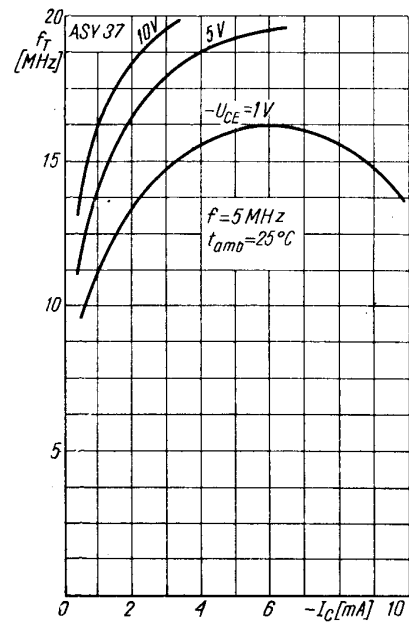
Zależność częstotliwości granicznej od prądu kolektora $f_T = f(I_C)$



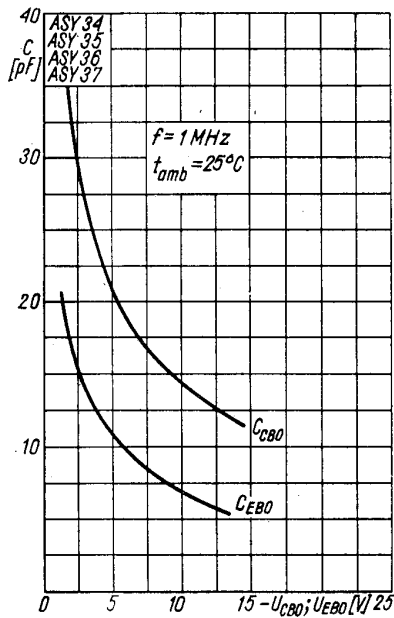
Zależność częstotliwości granicznej od prądu kolektora $f_T = f(I_C)$



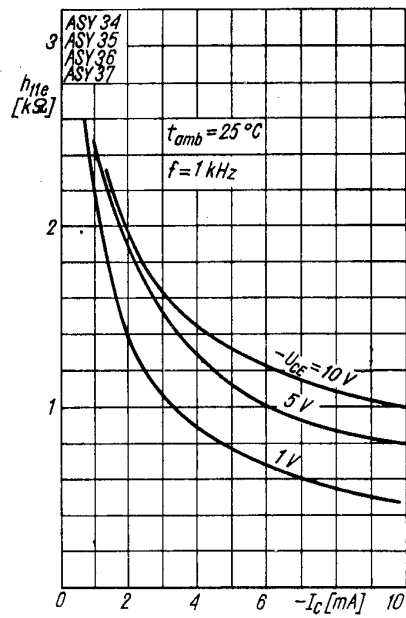
Zależność częstotliwości granicznej od prądu kolektora $f_T = f(I_C)$



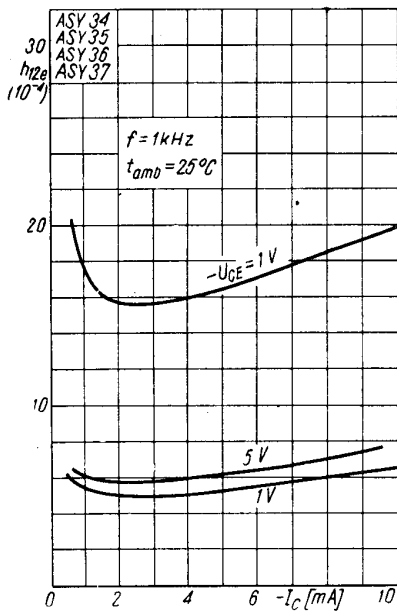
Zależność częstotliwości granicznej od prądu kolektora $f_T = f(I_C)$



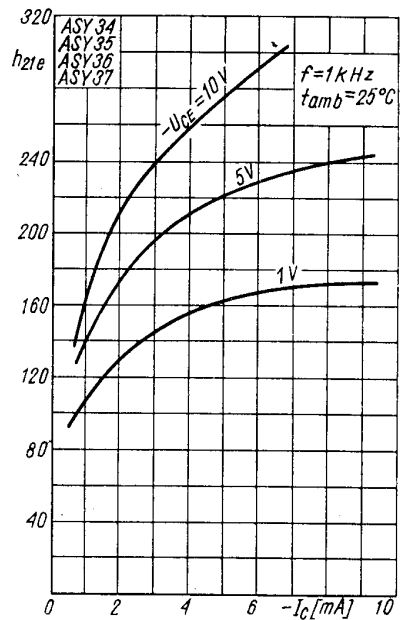
Zależność pojemności złącz od napięcia $C_{CBO} = f(U_{CE})$ i $C_{EBO} = f(U_{CE})$



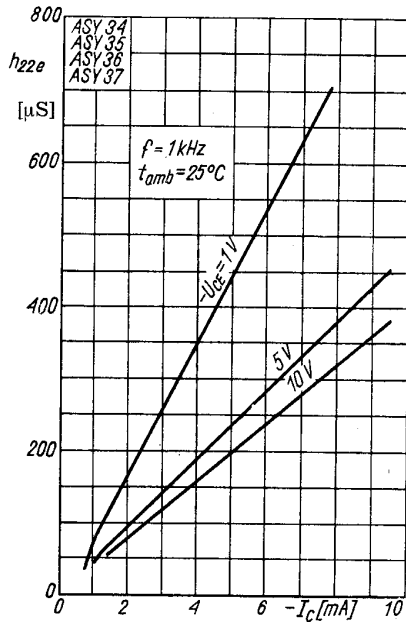
Zależność rezystancji wejściowej od prądu kolektora $h_{ie} = f(I_C)$



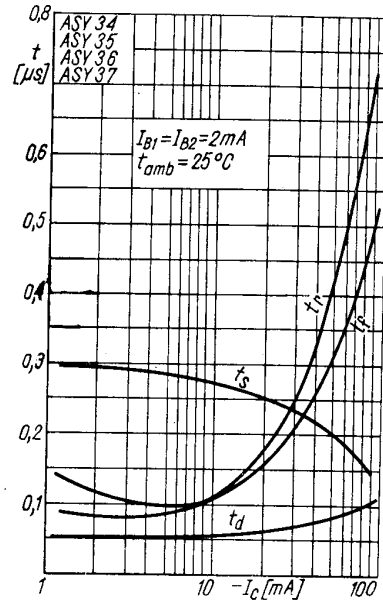
Zależność współczynnika napięciowego sprzężenia zwrotnego od prądu kolektora $h_{12e} = f(I_C)$



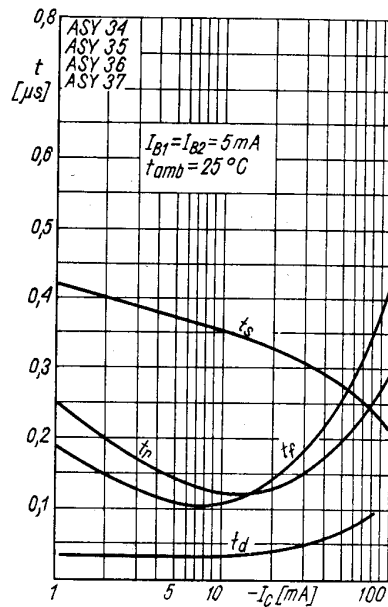
Zależność zmiennoprądowego współczynnika wzmocnienia od prądu kolektora $h_{21e} = f(I_C)$



Zależność przewodności wyjściowej od prądu kolektora $h_{22e} = f(I_C)$



Zależność czasów przełączania od prądu kolektora $t = f(I_C)$



Zależność czasów przełączania od prądu kolektora $t = f(I_C)$

PRODUCENT

UNITRA
CEMI

NAUKOWO-PRODUKCYJNE CENTRUM
PÓLPRZEWODNIKÓW „TEWA”

ul. Komarowa 5
02-675 Warszawa
Telefon: 431431
Teleks: 813219

DYSTRYBUTOR

UNITRA
UNIZET

BIURO ZBYTU SPRZĘTU
TELERADIOTECHNICZNEGO

ul. Nowogrodzka 50
00-695 Warszawa
Telefony: 289411, 286471
Teleks: 813435

This datasheet has been download from:

www.datasheetcatalog.com

Datasheets for electronics components.